

АКАДЕМІЯ НАУК УКРАЇНСЬКОЇ РСР  
Відділ технічних наук

# АВТОМАТИКА

3 - 404

3

1956

ВИДАВНИЦТВО АКАДЕМІЇ НАУК  
УКРАЇНСЬКОЇ РСР

КИЇВ—1956

БІБЛІОТЕКА

з проблем Механіки  
АН ССР

# ТЕОРІЯ АВТОМАТИЧНОГО РЕГУЛЮВАННЯ

## ДО ПИТАННЯ ПРО ВИЗНАЧЕННЯ ПОМИЛОК ГІРОГОРИЗОНТА НА КАЧЦІ ПРИ НАЯВНОСТІ КОРЕНКІЇ РЕЛЕЙНОГО ТИПУ

О. Ю. Ішлінський

(Інститут математики АН УРСР)

1°. Значний інтерес для теорії автоматичного регулювання має досліджене в даній статті диференціальне рівняння

$$\frac{dx}{dt} = \mu + \nu \operatorname{sign}(\xi - x),$$

за допомогою якого описується в окремому випадку поведінка покажчика горизонтальної площини на хитному кораблі (гіроазимут). Тут  $\mu$  — сталі,  $x$  — шукана, а  $\xi$  — задана функція часу  $t$ . Ця функція приймається або просто гармонічною, або такою, що подається у вигляді суми двох гармонічних функцій з несумірними періодами. В останньому випадку, який має для практики найбільший інтерес, виявляється можливим відшукати середнє за часом значення шуканої функції  $x$ , якщо, наслідуючи А. М. Колмогорова, прийняти функцію  $\xi(t)$ , складену з суми двох випадкових незалежних величин з відповідними законами розподілу.

Залишається недослідженим загальний випадок випадкової функції  $\xi(t)$  з заданими ймовірісно статистичними характеристиками.

Дослідження проводиться нижче відповідно до теорії гіроскопів, проте, як легко бачити, воно має і більш загальний характер.

2°. Гіроскопи з ряду причин, зокрема через тертя в осях підвісу, через сили інерції, переносного руху, обертання Землі, неврівноваженість і т. п., схильні порівняно швидко змінювати орієнтацію своїх осей в просторі. Тому при використанні гіроскопів для зберігання горизонтальної площини на хитному кораблі (або на іншому об'єкті, що рухається) доводиться діяти на них спеціальними коректуючими моментами, які повинні повернати гіроскопи до вихідного напряму. Згадані коректуючі моменти створюються за допомогою пристроїв, які реагують на зміну напряму динамічної вертикаль відносно палуби корабля \*.

Через те що при качці динамічна вертикаль змінює свій напрям, коректуючі моменти змушують безперервно змінювати в різних напрямах орієнтацію гіроскопів, від чого створюється помилка при визначенні розміщення горизонтальної площини, яка зумовлена качкою корабля.

Щоб не ускладнювати дослідження, розглянемо випадок тільки однієї качки корабля, наприклад бортової, умовно вважаючи, що ри-

\* Під динамічною вертикаллю будемо надалі розуміти напрям геометричної суми вектора прискорення сили тяжіння і вектора переносного прискорення місця розміщення приладу, взятого з оберненим знаком. У напрямі динамічної вертикалі розміщується маятник (сферичний), якщо період його власних коливань досить малий порівняно з періодом качки корабля.

скання корабля і іншої його качки немає і, крім того, корабель не має нервус. Тоді видимий рух гіроскопів буде зумовлений кутовою швидкістю Землі і дією коректуючих моментів. Незначним впливом кутової швидкості корабля, яка створюється за рахунок його власного руху по криволінійній поверхні Землі, можна, як правило, нехтувати.

3°. Нехай гірогоризонт має єдиний гіроскоп з вертикально орієнтованою власною віссю \*, кардацівий підвіс якого має осі, паралельні поздовжній і поперечній осям корабля.

Якщо через  $x$  позначити кут відхилення вектора кінетичного моменту гіроскопа від вертикалі в площині шпангоута корабля в напрямі лівого борту і вважати, що ніс корабля орієнтований по лінії північ-південь, то рух гіроскопа при наявності однієї бортової качки буде визначатися очевидним рівнянням

$$H \left( \frac{dx}{dt} - \omega \cos \varphi \right) = K(y). \quad (1)$$

Тут  $\omega$  — кутова швидкість Землі,  $\varphi$  — широта місця,  $K(y)$  — величина коректуючого моменту і  $y$  — кут між напрямом динамічної вертикалі місця розташування приладу на кораблі і напрямом кінетичного моменту  $H$ .

Легко переконатися, що при незначній качці

$$y = \frac{w}{g} - x, \quad (2)$$

де  $w$  — горизонтальна складова прискорення місця розташування приладу, зумовлена качкою корабля, і  $g$  — прискорення сили тяжіння \*\*. Вважатимемо, що

$$\frac{w}{g} = a \sin(pt + \delta) + \beta \sin(qt + \varepsilon), \quad (3)$$

тобто розглянемо випадок складної качки, що складається з двох періодичних, з різними частотами  $p$  і  $q$  і, власне кажучи, з різними амплітудами  $a$  і  $\beta$  початковими фазами  $\delta$  і  $\varepsilon$ .

Функціональна залежність  $K(y)$  у більшості приладів має вигляд, вказаний на рис. 1. Зона лінійності  $-\gamma_1 < y < +\gamma_1$ , де коректуючий момент  $K$  пропорціональний кутові  $y$ , буває, звичайно, невеликою, а в деяких приладах її зовсім немає. Тому у далішому дослідженні візьмемо до уваги, що має місце так званий контактний режим управління коректуючим моментом, тобто будемо вважати, що

$$K(y) = K_1 \operatorname{sign} y \quad (4)$$

і, отже,

$$K = -K_1, \text{ якщо } y < 0; \quad (5)$$

$$K = +K_1, \text{ якщо } y > 0.$$

Вводячи позначення

$$\omega \cos \varphi = \mu, \quad \xi = \frac{w}{g}, \quad (6)$$

$$\frac{K_1}{H} = \nu, \quad (7)$$

\* Інші схеми гірогоризонтів досліджуються цілком аналогічно.

\*\* Точіше  $y = \operatorname{arc} \operatorname{tg} \frac{w}{g - w'} - x$ , де  $w'$  — вертикальна складова того ж прискорення.

а також, є  
у вигляді

4°. Рівні

дослідив за  
Великі

твірдив ре  
в лабораторії

Дослід:  
М. І. Зайцев  
зовсім інши  
теру. Варте  
виявляються  
амплітудою.  
в умовах як

5°. Роз  
цього побуд

Нехай в по  
початкові  
аналогічно).  
початкового  
ких наступни

внаслідок ч  
ням (8), діс

На основі р  
від вертикалі

і зобразить  
помічаємо, і  
нерівності

тобто потріб  
перетину пр

в нуль і змі  
Надалі

законом

\* Дослід

а також, беручи до уваги формули (2), (4) і (5), подамо рівняння (1) у вигляді

$$\frac{dx}{dt} = \mu + \nu \operatorname{sign}(\xi - x). \quad (8)$$

4°. Рівняння (8) для випадку простої качки, при якій

$$\xi = \frac{\omega}{g} = a \sin pt, \quad (9)$$

дослідив за допомогою елементарних прийомів М. І. Зайцев \*.

Великі значення помилок, одержані теоретичним шляхом, він підтвердив результатами спеціального експериментального дослідження в лабораторних умовах.

Дослідження рівняння (8) в умовах складної качки за методом М. І. Зайцева натрапляє на великі труднощі; воно проведено в цій статті зовсім іншим способом, при використанні міркувань ймовірного характеру. Варте уваги те, що теоретичні величини помилок при складній качці виявляються значно меншими, ніж для простої качки з тією ж самою амплітудою. Це узгоджується з результатами випробувань гірогоризонта в умовах його експлуатації.

5°. Розглянемо спочатку елементарний розв'язок рівняння (8). Для цього побудуємо графік (рис. 2), рівняння якого має вигляд

$$\xi = a \sin pt. \quad (10)$$

Нехай в початковий момент часу  $t=0$  кут  $x$  має значення  $x_0 > 0$  (інші початкові умови досліджуються аналогічно). У цьому випадку для початкового момента часу і близьких наступних  $x > \xi$  і, отже,

$$\xi - x < 0, \quad (11)$$

винаслідок чого, згідно з рівнянням (8), дістаемо

$$\frac{dx}{dt} = \mu - \nu. \quad (12)$$

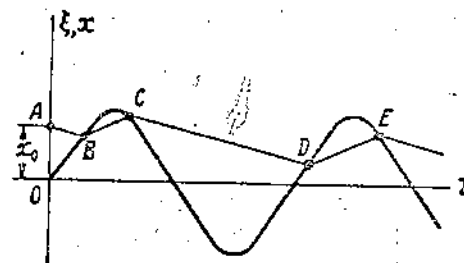


Рис. 2.

На основі рівняння (12) зміна  $x$ , тобто кута відхилення осі гіроскопа від вертикаль, відбудуватиметься за законом

$$x = x_0 - (\nu - \mu)t \quad (13)$$

і зобразиться на тому ж рис. 2 похилою прямою  $AB$ . Безпосередньо помічаемо, що для успішної роботи приладу цілком необхідна наявність нерівності

$$\nu > \mu, \quad (14)$$

тобто потрібно, щоб коректуючий момент  $K_1$  був досить великим. Точка  $B$  перетину прямої (13) і кривої (10) відповідає перетворенню кута

$$\gamma = \xi - x \quad (15)$$

в нуль і зміні його знака.

Надалі зміна  $x$ , як це виліває з рівняння (8), відбудуватиметься за законом

$$\frac{dx}{dt} = \mu + \nu \operatorname{sign}(\xi - x) \quad (16)$$

\* Дослідження М. І. Зайцева, на жаль, залишилось не опублікованим.

виключені

і зображені на рис. 2 прямою  $BC$  з додатним кутовим коефіцієнтом. Точці  $C$  знову відповідає зміна знака кута  $\gamma$ ; наступна зміна  $x$  знов підпадатиме під рівняння (12) і т. д.

Таким чином, графік функції  $x=x(t)$  являє собою ламану лінію  $ABCDE\dots$ , зломи якої знаходяться на синусоїді (10), причому кутові коефіцієнти відрізків ламаної мають то додатні, то від'ємні значення, залежно від того, вище чи нижче розташовуються частки відповідних дуг синусоїди.

Якщо точка  $B$  опиниться поблизу вершини синусоїди (10), то може трапитись, що в цій точці

$$\frac{d\xi}{dt} < \mu + \nu. \quad (17)$$

У цьому випадку відрізок  $BC$  замінюється дугою синусоїди, причому положення точки  $C$  визначається умовою

$$\frac{d\xi}{dt} = \mu + \nu. \quad (18)$$

Надалі побудова функції  $x=x(t)$  провадиться так, як указано вище.

Очевидно, що подібну ж побудову можна здійснити при якому завгодно вигляді кривої  $\xi=\xi(t)$  і, зокрема, для випадку складної качки за законом (3); проте висновки про закономірності розташування відрізків ламаної у цьому випадку зробити важко.

6° У випадку синусоїді це питання розв'язується просто, бо й без формальних математичних викладок видно, що ламана дуже швидко стає періодичною, з тим самим періодом, що й синусоїда (10).

Розглянемо три послідовні точки злому періодичної ламаної (див. рис. 3). Позначимо абсциси цих точок через  $t_1, t_2, t_3$ , а ординати, відповідно, через  $x_1, x_2$  і  $x_3$ .  
По-перше, згідно з співвідно-

шеннями (12) і (16) справедливі рівності:

$$\frac{x_2 - x_1}{t_2 - t_1} = \mu + \nu; \quad (19)$$

$$\frac{x_3 - x_2}{t_3 - t_2} = \mu - \nu. \quad (20)$$

Далі, в силу періодичності маємо:

$$x_3 = x_1, \quad (21)$$

$$t_3 - t_1 = \frac{2\pi}{p}. \quad (22)$$

Нарешті, через те що точки злому лежать на синусоїді (10),

$$x_1 = a \sin pt_1, \quad (23)$$

$$x_2 = a \sin pt_2. \quad (24)$$

Співвідношення (19) — (24) являють собою шість рівнянь з шістьма невідомими координатами трьох точок злому. Рівняння (19) і (20) після

звідки

і, отже,

З друго-

Порівнянн

для виз  
до кінця  
Осо  
тобто ве

Згідно з

Використ

З рівнос

отже, фор

Якщо  $\mu =$   
яким допи  
ментом),

70 4/V

виключення з останнього величин  $x_3$  і  $t_3$  можна за допомогою співвідношень (21) і (22) привести до вигляду:

$$x_2 - x_1 = (\nu + \mu) (t_2 - t_1), \quad (25)$$

$$x_2 - x_1 = (\nu - \mu) \left( \frac{2\pi}{p} + t_1 - t_2 \right), \quad (26)$$

звідки

$$p(t_2 - t_1) = \frac{\nu - \mu}{\nu} \pi, \quad (27)$$

і, отже,

$$x_2 - x_1 = \frac{\nu^2 - \mu^2}{p\nu} \pi. \quad (28)$$

З другого боку, згідно з рівностями (23), (24) і (27), маємо:

$$x_2 - x_1 = 2\alpha \cos \left( \frac{\nu - \mu}{2\nu} \pi + pt_1 \right) \sin \frac{\nu - \mu}{2\nu} \pi. \quad (29)$$

Порівнюючи співвідношення (28) і (29), дістанемо рівняння

$$\frac{\nu^2 - \mu^2}{p\nu} \pi = 2\alpha \cos \left( \frac{\nu - \mu}{2\nu} \pi + pt_1 \right) \sin \frac{\nu - \mu}{2\nu} \pi \quad (30)$$

для визначення координати  $t_1$ , після чого задача швидко доводиться до кінця.

Особливий інтерес являє собою середнє відхилення від вертикалі, тобто величина

$$x_{\text{sep}} = \frac{x_1 + x_2}{2}. \quad (31)$$

Згідно з співвідношеннями (23) і (24), дістаємо:

$$x_{\text{sep}} = \alpha \sin p \frac{t_1 + t_2}{2} \cos p \frac{t_1 - t_2}{2}. \quad (32)$$

Використовуючи далі співвідношення (27), приходимо до виразу

$$x_{\text{sep}} = \alpha \sin \left( \frac{\nu - \mu}{2\nu} \pi + pt_1 \right) \cos \frac{\nu - \mu}{2\nu} \pi. \quad (33)$$

З рівності (30) випливає, що

$$\sin \left( \frac{\nu - \mu}{2\nu} \pi + pt_1 \right) = \sqrt{1 - \left( \frac{\nu^2 - \mu^2}{2p\nu\alpha} \frac{\pi}{\sin \frac{\nu - \mu}{2\nu} \pi} \right)^2}; \quad (34)$$

отже, формула (33) приводиться до вигляду:

$$x_{\text{sep}} = \alpha \cos \frac{\nu - \mu}{2\nu} \pi \sqrt{1 - \left( \frac{\nu^2 - \mu^2}{2p\nu\alpha} \frac{\pi}{\sin \frac{\nu - \mu}{2\nu} \pi} \right)^2}. \quad (35)$$

Якщо  $\mu = 0$ , тобто коли вплив обертання Землі на прилад усунуті будь-яким допоміжним способом (наприклад, спеціальним компенсуючим моментом), то згідно з рівнянням (35), як і слід було чекати,

$$x_{\text{sep}} = 0. \quad (36)$$

Величина  $\nu$  являє собою, як це легко бачити з рівняння (8), кутову швидкість корекції. Звичайно, ця величина значно більша за горизонтальну складову кутової швидкості Землі  $\mu$ . Тому наближено маємо:

$$\cos \frac{\nu - \mu}{2\nu} \pi = \sin \frac{\mu\pi}{2\nu} \approx \frac{\mu\pi}{2\nu}; \quad (37)$$

$$\sin \frac{\nu - \mu}{2\nu} \pi = \cos \frac{\mu\pi}{2\nu} \approx 1. \quad (38)$$

Беручи до уваги рівності (37) і (38), з формули (35) з достатньою точністю дістаємо

$$x_{\text{sep}} = \frac{\alpha\mu}{\nu} \frac{\pi}{2} \sqrt{1 - \left(\frac{\nu\pi}{2p\alpha}\right)^2}. \quad (39)$$

З другого боку, добуток  $p\alpha$  являє собою кутову швидкість відхилення динамічної вертикалі від справжньої. Ця швидкість значно більша від кутової швидкості корекції  $\nu$ . Тому в формулі (39) можна підкореневий вираз замінити одиницею. В результаті приходимо до наближеної формули М. І. Зайцева

$$x_{\text{sep}} \approx \frac{\alpha\mu}{\nu} \frac{\pi}{2}. \quad (40)$$

Наскільки значним може виявитись середнє відхилення кінетичного моменту від вертикалі із-за качки, показує такий числовий приклад. Нехай

$$\frac{w}{g} = 0.1 \sin pt, \text{ тобто } \alpha=0.1; p=1^{\circ}/\text{сек}; \mu=10^{\circ}/\text{хв}; \nu=100^{\circ}/\text{хв}.$$

Тоді, згідно з формулою (40), дістанемо:

$$x_{\text{sep}} = \frac{\alpha\mu}{\nu} \frac{\pi}{2} = 0.01571(54'),$$

що являє собою дуже помітну помилку в показаннях приладу. Точна формула (35) дає

$$x_{\text{sep}} = 0.01564.$$

7°. Другий метод дослідження базується на припущення про близькість однієї до одної границь зміни величини  $x$  порівняно з відповідною зміною  $\xi$ . Інакше кажучи, у випадку простої чи складної качки вважається, що відхилення  $x$  кінетичного моменту від вертикалі змінюється незначно в порівнянні, наприклад, з амплітудою відхилення динамічної вертикалі, якщо розглядати інтервали часу порядку періоду качки. Інтеруючи праву й ліву частини диференціального рівняння (8)

$$\frac{dx}{dt} = \mu + \nu \operatorname{sign}(\xi - x)$$

в границях від  $t=0$  до  $t=T$ , дістанемо:

$$\frac{x(T) - x(0)}{T} = \mu + \frac{\nu}{T} \int_0^T \operatorname{sign}(\xi - x) dt. \quad (41)$$

При дос  
Отже, м

Зауважі  
ладу в  
дорівню.  
Згід  
величин

де  $T_1$  —  
нижче  
аналогі  
ку об  
кривої  $\xi$   
Для  
що хар  
типу (3)

де  $f(x)$   
якої виз  
 $\xi = \xi(t)$ .  
В силу

розв'язу  
 $8^{\circ}$

за час  $T$

Проводя  
далі  $x_0$  є

і, отже,

Тут  $t_1$  —

50 7/V  
При достатньо великому  $T$  ліву частину рівності (41) можна відкинути.  
Отже, можна вважати, що

(37)

$$\frac{\mu}{\nu} + \frac{1}{T} \int_0^T \operatorname{sign}(\xi - x) dt = 0. \quad (42)$$

(38)

Зауважимо, що у випадку сталого періодичного руху гіроскопічного пристроя в умовах простої качки корабля ліва частина рівняння (41) точно дорівнює нулеві, якщо за час  $T$  взяти період качки.

достатньою точ-

(39)

Згідно із зробленим вище припущенням, в інтегральному виразі (42) величину  $x$  можна вважати сталою. Тоді очевидно, що

$$\int_0^T \operatorname{sign}(\xi - x) dt = T_2 - T_1, \quad (43)$$

де  $T_1$  — сума інтервалів часу, протягом яких крива  $\xi = \xi(t)$ , розташована нижче прямої  $\xi = x = \text{const}$ , а  $T_2$ , аналогічно, — сума для випадку оберненого розташування кривої  $\xi = \xi(t)$ .

Для випадку складної качки, що характеризується рівнянням типу (3), слід чекати, що

(40)

$$\lim_{T \rightarrow \infty} \frac{T_1 - T_2}{T} = f(x), \quad (44)$$

де  $f(x)$  — функція, властивості якої визначаються видом функції  $\xi = \xi(t)$ .

В силу рівнянь (42), (43) і (44) визначення кореня рівняння

$$f(x) = \frac{\mu}{\nu}, \quad (45)$$

розв'язує поставлену задачу.

8°. У випадку простої качки за законом (10)

$$\xi = a \sin pt$$

за час  $T$  можна, як уже згадувалось, взяти період качки

$$T = \frac{2\pi}{p}. \quad (46)$$

Проводячи на графіку кривої (10) пряму, паралельну осі абсцис на віддалі  $x_0$  від останньої (рис. 4), безпосередньо переконуємося, що

$$T_2 = \frac{T}{2} - 2t_1 \quad (47)$$

$$T_1 = \frac{T}{2} + 2t_1$$

і, отже,

$$\frac{T_1 - T_2}{T} = \frac{4t_1}{T} = \frac{2pt_1}{\pi}. \quad (48)$$

Тут  $t_1$  — найменший корінь рівняння

$$a \sin pt = x. \quad (49)$$

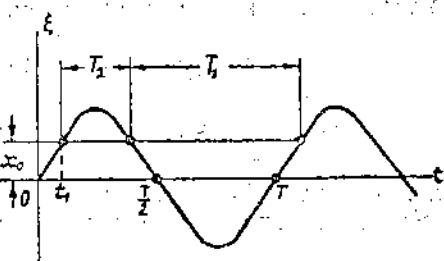


Рис. 4.

к приладу. Точна

щенні про близькість з відповідною

періодичною качкою вва-

тікалі змінюється

значення динамічної

ріоду качки. Інтег-

рація (8)

(41)

При малому значенні  $x$  порівняно з  $a$  маємо:

$$\frac{x}{a} = \sin pt_1 = pt_1 \quad (50)$$

и отже,

$$\frac{T_1 - T_2}{T} = \frac{2x}{\pi a}. \quad (51)$$

Відповідно до рівнянь (42), (43) і (51) маємо тепер

$$\frac{\mu}{x} - \frac{2x}{na} = 0, \quad (52)$$

звідки

$$x = \frac{\alpha\mu}{\nu} \cdot \frac{\pi}{2},$$

тобто з дову одержуємо формулу (40).

9°. Розглянемо тепер випадок складної качки, яка відбувається за законом (3). У цьому випадку маємо:

$$\xi(t) = \frac{w}{\sigma} = \alpha \sin(pt + \delta) + \beta \sin(qt + \epsilon). \quad (53)$$

Для розв'язання поставленої задачі при припущеннях, викладених вище, досить знайти границю відношення  $T_2 : T$  при  $T \rightarrow \infty$ , де  $T_2$ , як і раніше, являє суму тих інтервалів часу, при яких  $\xi(t) > x$ . При несумірних  $p$  і  $q$  можна вважати  $\xi(t)$  за суму двох величин:

$$\eta(t) = \alpha \sin(pt + \delta) \quad \text{and} \quad \zeta(t) = \beta \sin(gt + \varepsilon), \quad (54)$$

які можна розглядати як випадкові незалежні.

Імовірність знаходження величин  $\eta$  в інтервалі  $(\eta, \eta+d\eta)$  має вигляд

$$\frac{1}{\pi} \frac{d\eta}{\sqrt{\alpha^2 - \eta^2}}. \quad (55)$$

Вираз (55) являє собою, по суті, частку періоду, на протязі якого точка, що коливається за законом

$$\eta = \alpha \sin(pt + \delta), \quad (56)$$

знаходиться в інтервалі  $(\eta, \eta + d\eta)$ . Оскільки, згідно з законом (56),

$$dp = p \cos(\theta t + \delta) dt = \sqrt{a^2 - \eta^2} p dt, \quad (57)$$

то час проходження точкою інтервалу довжиною  $d\eta$  виражається формулою

$$dt = \frac{d\eta}{v\sqrt{\alpha^2 - \eta^2}}. \quad (58)$$

За один період цей інтервал проходиться точкою двічі; отже, шукана частка періоду дорівнює

$$\frac{2dt}{\frac{2\pi}{\rho}} = \frac{d\eta}{\pi\sqrt{a^2 - \eta^2}}. \quad (59)$$

Аналогічно ймовірність випадкової величини  $\zeta(t)$  можна представити виразом

$$\frac{1}{\pi} \frac{d\xi}{\sqrt{\beta^2 - \xi^2}} \quad (60)$$

Відповідно до відомої теореми множення, ймовірність того, що величини  $\eta$  і  $\zeta$  одночасно опиняться в заданих інтервалах  $(\eta, \eta + d\eta)$ ,  $(\zeta, \zeta + d\zeta)$  має такий вираз:

$$(50) \quad (61) \quad \frac{1}{\pi^2} \frac{d\eta d\zeta}{\sqrt{(\alpha^2 - \eta^2)(\beta^2 - \zeta^2)}}.$$

Для того щоб узнати, на протязі якого достатньо великого проміжку часу  $T$  величини  $\eta$  і  $\zeta$  залишались в границях якоїсь заданої області  $S$  (рис. 5), слід на цю область поширити подвійний інтеграл

$$(52) \quad (62) \quad \iint_S \frac{1}{\pi^2} \frac{d\eta d\zeta}{\sqrt{(\alpha^2 - \eta^2)(\beta^2 - \zeta^2)}}.$$

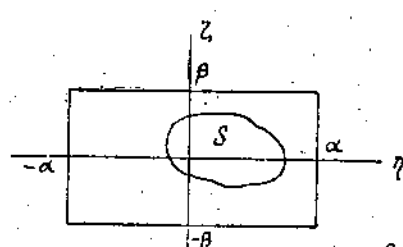


Рис. 5.

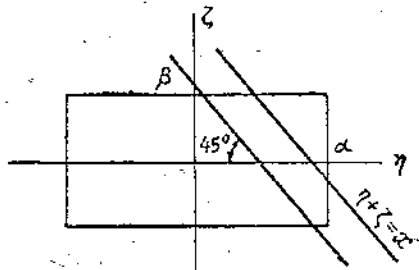


Рис. 6.

З геометричної точки зору можлива область сумісних значень величин  $\eta$  і  $\zeta$  являє собою на площині  $H$  прямокутник з вершинами в точках  $\pm\alpha$ ;  $\pm\beta$ . Легко перевірити, що

$$(54) \quad (63) \quad \frac{1}{\pi^2} \iint_{-\alpha}^{+\alpha} \frac{d\eta d\zeta}{\sqrt{(\alpha^2 - \eta^2)(\beta^2 - \zeta^2)}} = 1,$$

як і повинно бути.

Поза областю згаданого прямокутника сумісні значення  $\eta$  і  $\zeta$  неможливі і, отже, густина ймовірності їх одночасних заданих значень дорівнює нульові.

Умові:

$$(55) \quad (64) \quad \xi > x$$

відповідає області прямокутника (рис. 6), праворуч і вище прямої

$$(56) \quad (65) \quad \eta + \zeta = x.$$

Таким чином, шукане відношення  $T_2 : T$ , яке позначимо через  $f_2(x)$ , являє собою подвійний інтеграл, поширений на цю область.

При  $x > 0$  можливі два види області  $\xi > x$ : трикутний і трапеційальний, залежно від того, більше чи менше число  $x$  від модуля різниці  $\alpha - \beta$ . При  $\alpha = \beta$  область являє собою тільки трикутник. Випадок трапеційальної області найбільш реальний. Тому обмежимось розглядом випадку трапеційальної області, приймаючи для означеності  $\alpha > \beta$ . У цьому випадку інтегрування по змінній  $\zeta$  проходить в границях  $(-\beta, \beta)$ , а по змінній  $\eta$  — в границях  $(x - \zeta, \alpha)$ .

Отже,

$$(57) \quad (66) \quad \lim_{T \rightarrow \infty} \frac{T_2}{T} = f_2(x) = \frac{1}{\pi^2} \int_{-\beta}^{+\beta} \left\{ \int_{x-\zeta}^{\alpha} \frac{d\eta}{\sqrt{\alpha^2 - \eta^2}} \right\} \frac{d\zeta}{\sqrt{\beta^2 - \zeta^2}}.$$

т. отже, різ

Внутрішній інтеграл (неозначений) по змінній  $\eta \in \arcsin \frac{\eta}{\alpha}$ . Таким чином,

$$\begin{aligned} \lim_{T \rightarrow \infty} \frac{T_2}{T} &= \frac{1}{\pi^2} \int_{-\beta}^{\beta} \left( \frac{\pi}{2} - \arcsin \frac{x-\zeta}{\alpha} \right) \frac{d\zeta}{\sqrt{\beta^2 - \zeta^2}} = \\ &= \frac{1}{2} - \frac{1}{\pi^2} \int_{-\beta}^{+\beta} \arcsin \frac{x-\zeta}{\alpha} \cdot \frac{d\zeta}{\sqrt{\beta^2 - \zeta^2}}. \end{aligned} \quad (67)$$

Оскільки

$$T_1 = T - T_2, \quad (68)$$

то в силу виразів (67) і (68), одержуємо:

$$\lim_{T \rightarrow \infty} \frac{T_1 - T_2}{T} = \lim_{T \rightarrow \infty} \left( 1 - 2 \frac{T_2}{T} \right) = \frac{2}{\pi^2} \int_{-\beta}^{+\beta} \arcsin \frac{x-\zeta}{\alpha} \cdot \frac{d\zeta}{\sqrt{\beta^2 - \zeta^2}}. \quad (69)$$

Звертаючись тепер до рівнянь (44) і (45), одержимо для шуканої величини  $x$  рівняння

$$\frac{2}{\pi^2} \int_{-\beta}^{\beta} \arcsin \frac{x-\zeta}{\alpha} \cdot \frac{d\zeta}{\sqrt{\beta^2 - \zeta^2}} = \frac{\mu}{\nu}. \quad (70)$$

Заміною змінної

$$\zeta = \beta \sin \theta \quad (71)$$

це рівняння приводиться до вигляду

$$\int_{-\frac{\pi}{2}}^{\frac{\pi}{2}} \arcsin \frac{x - \beta \sin \theta}{\alpha} d\theta = \frac{\pi^2}{2} \frac{\mu}{\nu}. \quad (72)$$

Із структури виразу (72) випливає, що

$$\frac{x}{\alpha} = \varphi \left( \frac{\beta}{\alpha}; \frac{\mu}{\nu} \right), \quad (73)$$

де функцію двох змінних  $\varphi$  можна побудувати за допомогою числових розрахунків.

Вважаючи  $x \ll \beta$ , легко дати наблизений розв'язок рівняння (72), замінивши підінтегральну функцію першими двома членами її розкладу в ряд Маклорена

$$\arcsin \left( \frac{x}{\alpha} + \frac{\beta}{\alpha} \sin \theta \right) = -\arcsin \left( \frac{\beta}{\alpha} \sin \theta \right) + \frac{x}{\alpha} \frac{1}{\sqrt{1 - \left( \frac{\beta}{\alpha} \sin \theta \right)^2}} + \dots \quad (74)$$

Оскільки функція  $\arcsin \left( \frac{\beta}{\alpha} \sin \theta \right)$  — непарна, то

$$\int_{-\frac{\pi}{2}}^{\frac{\pi}{2}} \arcsin \left( \frac{\beta}{\alpha} \sin \theta \right) d\theta = 0 \quad (75)$$

звідки

де  $K \left( \frac{\beta}{\alpha} \right)$

Варте  
мула (77)  
уваги, що

Взагалі ж

Внаслідок  
приладу  $\mu$   
входить д.  
Мабу  
при качці  
буває такі  
мальє ві  
сумі  $\alpha + \beta$ .  
то помилка

яка перев

раз. Напр  
то

і, відпові  
кладу, пс  
замість 5  
калі, рівн  
Заув  
грування

якій відпові  
задовільне

$\epsilon \arcsin \frac{\eta}{\alpha}$ . Таким

і, отже, рівняння (72) замінюється наближенням рівнянням

$$\frac{x}{a} \int_{-\frac{\pi}{2}}^{\frac{\pi}{2}} \frac{d\theta}{\sqrt{1 - \left(\frac{\beta}{\alpha} \sin \theta\right)^2}} = \frac{\mu}{\nu} \frac{\pi^2}{2}, \quad (76)$$

звідки

(67)

$$x = \frac{a}{K\left(\frac{\beta}{\alpha}\right)} \cdot \frac{\mu}{\nu} \frac{\pi^2}{4}, \quad (77)$$

(68)

де  $K\left(\frac{\beta}{\alpha}\right)$  — повний еліптичний інтеграл першого роду.

Варте уваги те, що у випадку простої качки, тобто при  $\beta=0$ , формула (77) приводиться до формулі (40). Для цього досить взяти до уваги, що

$$K(0) = \frac{\pi}{2}. \quad (78)$$

В загалі ж

(70)

$$K\left(\frac{\beta}{\alpha}\right) = \frac{\pi}{2} \left[ 1 + \frac{1}{4} \left(\frac{\beta}{\alpha}\right)^2 + \dots \right] > \frac{\pi}{2}. \quad (79)$$

Внаслідок цього, при наявності складної качки за законом (3), помилка приладу має бути меншою, ніж навіть при простій гармонічній качці, що входить до складу складної.

Мабуть, саме цією обставиною пояснюється той факт, що на кораблі при качці помилка гіроторизонта при наявності контактної корекції не буває такою великою, як та мало бути за формуллю (40). Дійсно, максимальне відхилення динамічної вертикалі при качці типу (53) дорівнює сумі  $\alpha + \beta$ . Якщо цю суму прийняти умовно за амплітуду простої качки, то помилка, згідно з формуллою (40), дорівнюватиме величині

$$x^* = \frac{(\alpha + \beta)\mu}{\nu} \cdot \frac{\pi}{2}, \quad (80)$$

яка перевищує величину  $x$ , що одержується за формуллою (77), в

$$2 \frac{\alpha + \beta}{\pi \alpha} K\left(\frac{\beta}{\alpha}\right) \quad (81)$$

раз. Наприклад, якщо  $\alpha = 0,06$ , а  $\beta = 0,04$ , то

$$2 \frac{\alpha + \beta}{\pi \alpha} K\left(\frac{\beta}{\alpha}\right) = 1,92$$

і, відповідно до наведеного вище прикладу, помилка на качці буде вже  $28'$ , замість  $54'$  при простій качці з амплітудою відхилення динамічної вертикалі, рівною сумі чисел  $0,06$  та  $0,04$ .

Зauważимо, що визначення помилки за допомогою числового інтегрування і інтерполяції рівняння (72) дає величину

$$x = 0,0090,$$

який відповідає кут в  $31'$ . Таким чином, наближена формула (81) є цілком задовільною.

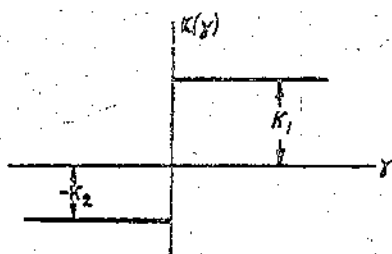


Рис. 7.

(75)

Сре  
нени  
ї ство  
м I

Слід чекати, що складні качки, які містять три і більше гармонічних складових, зумовлять ще меншу помилку гірогоризонта.

10°. Усе викладене вище стосується також випадку несиметричного коректуючого моменту (рис. 7), коли

$$K = K_1 \text{ при } \gamma > 0 \quad (82)$$

$$K = -K_2 \text{ при } \gamma < 0,$$

причому  $K_1 \neq K_2$ . У цьому випадку

$$\mu = \omega \cos \varphi + \frac{K_2 - K_1}{2H}$$

і, отже, помилка на качці матиме місце навіть і при повній компенсації впливу обертання Землі на прилад.

## ЛІТЕРАТУРА

1. Б. В. Булгаков, Прикладная теория гирокопов, ГИТТЛ, 1955.
2. Б. В. Гнеденко и А. Н. Колмогоров. Предельные распределения для сумм независимых случайных величин, ГИТТЛ, 1949.

Надійшла до редакції  
12. III 1956 р.

где  $T_2$   
времен  
логична  
постоян

Сл  
гармон

где

рассма  
распре

для ф  
ции  $\xi$   
Ес  
чины 1

Средн

где К  
эта фс  
ведени

## К ВОПРОСУ ОБ ОПРЕДЕЛЕНИИ ОШИБОК ГИРОГОРИЗОНТА НА КАЧКЕ ПРИ НАЛИЧИИ КОРРЕКЦИИ РЕЛЕЙНОГО ТИПА

А. Ю. Ишлинский

### Резюме

В статье исследуется дифференциальное уравнение

$$\frac{dx(t)}{dt} = \mu + \nu \operatorname{sign} [\xi(t) - x(t)],$$

где  $\mu$  и  $\nu$  — заданные постоянные,  $x(t)$  — искомая, а  $\xi(t)$  — заданная функция времени  $t$ . Такое уравнение встречается в теории автоматического регулирования. Здесь оно рассматривается в связи с описанием поведения гирокопического прибора — указателя горизонтальной плоскости на качающемся корабле (гирогоризонт).

Функция  $\xi(t)$  принимается в простейшем случае простой гармонической, а в более общем — состоящей из суммы двух гармонических с несоизмеримыми периодами. Наибольший интерес для практики представляет отыскание среднего значения искомой функции  $x(t)$  по времени. В случае, когда  $\xi(t)$  — простая гармоническая, эта задача элементарна; с достаточным для практики приближением ее решение дается формулой

$$x = \frac{\alpha \mu \pi}{\nu} \frac{\pi}{2},$$

где  $\alpha$  — амплитуда функции  $\xi(t)$ . Более точная формула, учитывающая угловую частоту  $p$  синусоиды  $\xi(t)$ , имеет вид

$$x = \frac{\alpha \mu \pi}{\nu} \frac{\pi}{2} \sqrt{1 - \left(\frac{\nu \pi}{2 p \alpha}\right)^2}.$$

Формула (35) в тексте статьи дает точное решение этой задачи.

більше гармонічних  
та.  
дку несиметричного

(82)

Среднее значение по времени функции  $x(t)$  при медленном ее изменении по сравнению с функцией  $\xi(t)$  может быть определено посредством решения уравнения

$$\frac{\mu}{\nu} + \frac{1}{T} \int_0^T \operatorname{sign}(\xi - x) dt = 0,$$

где  $T$  — достаточно большой интервал времени. Если ввести функцию

$$f(x) = \lim_{T \rightarrow \infty} \frac{T_2 - T_1}{T},$$

где  $T_2$  — сумма подинтервалов времени, в течение которых в интервале времени  $T$  функция  $\xi(t)$  превышает постоянное количество  $x$ , а  $T_1$  — аналогичная сумма подинтервалов, в течение которых  $\xi(t)$  не больше этой постоянной, — то указанное выше уравнение приводится к виду:

$$f(x) = \frac{\mu}{\nu}.$$

Следуя А. Н. Колмогорову в случае несоизмеримых периодов двух гармонических функций, можно выражение

$$\xi(t) = \eta(t) + \zeta(t),$$

где

$$\eta(t) = a \sin(pt + \delta),$$

$$\zeta(t) = \beta \sin(gt + \epsilon),$$

рассматривать как сумму независимых случайных функций с законом распределения

$$\begin{cases} \frac{1}{\pi \sqrt{\alpha^2 - \eta^2}} & (|\eta| < \alpha) \\ 0 & (|\eta| > \alpha) \end{cases}$$

для функции  $\eta(t)$  и аналогичным законом распределения для функции  $\zeta(t)$ .

Если  $a > \beta$ , то подсчет функции  $f(x)$  сводится к определению величины двойного интеграла

$$\frac{1}{\pi^2} \int_{-\beta}^{\beta} \int_{-\alpha}^{\alpha} \frac{d\eta d\zeta}{\sqrt{\alpha^2 - \eta^2} \sqrt{\beta^2 - \zeta^2}}.$$

Среднее значение  $x$  с достаточной для практики точностью дает формула

$$x = \frac{\alpha}{K\left(\frac{\beta}{\alpha}\right)} \cdot \frac{\mu}{\nu} \cdot \frac{\pi^2}{4},$$

где  $K\left(\frac{\beta}{\alpha}\right)$  — полный эллиптический интеграл первого рода. При  $\beta = 0$  эта формула приводится к указанной выше приближенной формуле, выведенной для случая гармонической функции  $\xi(t)$ .

повній компенсації

МТЛ, 1955.  
ные распределения для

РОГОРИЗОНТА  
ІЕИНОГО ТИПА

іе

а  $\xi(t)$  — заданная  
теории автоматиче-  
связи с описанием  
горизонтальной пло-

ще простой гармони-  
два гармонических  
для практики пред-  
кции  $x(t)$  по времени.  
задача элементарна;  
не дается формулой

формула, учитывающая

этой задачи.